

## 22.9 kV-y 배전선로 전선보호관을 이용한 에너지 절약기술

한국전기연구원  
전영갑

### 1. 서 론

가. 지금까지 22.9 KV-y 배전선로의 지지애자에 사용하는 바인드 방식은 전선과 애자를 직접 부착 시킴으로써 외부환경(염진애, 풍우, 까치 등)의 영향으로 많은 선로사고를 유발시켜 전력계통에 막대한 지장을 초래하고 있다.

나. 이러한 폐단을 없애고자 여러 방안이 모색될 수 있는데 그中最 가장 이상적인 방법은 전선과 애자 사이에 발생되는 부분방전 발생원을 근본적으로 없애는 방법이나 현장의 작업 성질상 애자와 전선 사이에 바인딩 작업을 행하지 않으면 그 기능이 수행되지 않는다.

다. 본 배전선로 전선보호관은 전선과 애자 사이에 일정한 바인딩 감기용 수취홈에 의거 수취홈에 의거 바인딩 작업을 수행할 수 있도록 함으로써 써지 과정에 의한 진행파의 반사와 투파에 따른 집중 임피던스를 균형있게 해 줌으로써 그 진행파의 파

형을 약화시킬 수 있고,

라. 실제 22.9 KV-y 배전선에서 발생되는 RIV(통신선 유도장해전압)을 대폭적으로 감소시킬 수 있고, 인공염진해 실험 결과 그 내전압을 상승시킬 수 있을 뿐만 아니라 전선과 지지애자 사이에 흐르는 누설전류를 감소시킬 수 있는 에너지 절약형 연구과제이다.

### 2. 국내·외 기술개발동향

국내, 미국, 캐나다 및 동남아시아의 직접접지 계통 배전선로에 전선보호용으로 여러 종류가 사용되고 있거나 그 사용되고 있는 개소가 한정되어 있어 실제 LP(Line Post)애자에는 전선과 애자를 Binding 시키는 작업으로 인하여 전선보호관을 사용할 수 없는 실정에 있어, 본 연구를 통하여 접지 계통의 배전선로상의 누설전류를 감소시킬 수 있는 방안을 모색하였다.

### 3. 기술개발내용

#### (2) 인공오손시험(Salt-fog Test)

##### 가. 전선보호관의 전기적 성능실험

###### (1) RIV 실험

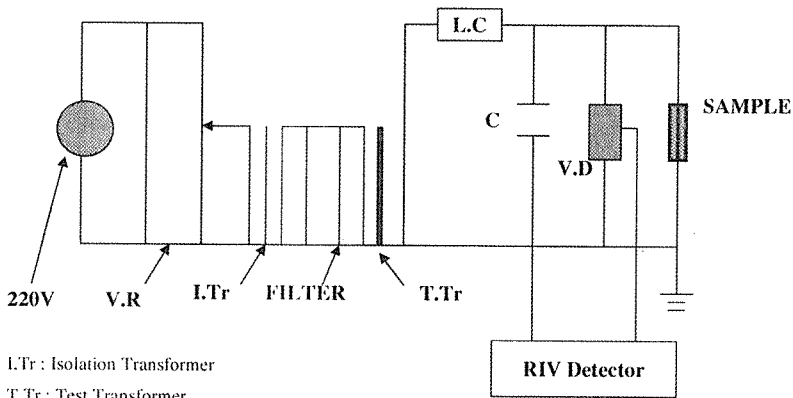
###### (Radio Interference Voltage)

본 시료에 대한 RIV(Radio interference Voltage)시험을 수행하였는데 그 시험회로는 그림 1과 같고 시험 결과는 표 1과 같다. 표 1에서 알 수 있다시피 기존 사용품은 시험전압 22(KV)를 인가하였을 때 RIV치가 39.8 ( $\mu$ V)인 반면 전선 보호관 체부품은 1( $\mu$ V)이하로 현저하게 저하됨을 알 수 있었다.

(가) 염진액 시험은 인공오손시험장에서, 염도 160 ( $\text{kg}/\text{cm}^3$ ), 밀도 1104.5( $\text{kg}/\text{cm}^3$ ) 의 Salt-fog 상태에서 정격전압 이상을 인가하여 Flashover가 발생되어 단락될 때 까지 전압을 인가하여 그 섬락 전압을 구한다.

(나) 표 2는 인공오손시험 결과를 나타낸 것으로 전선보호관을 삽입한 시료 5개를 실험한 결과 평균 섬락전압 35 (KV) 이상임이 밝혀졌다. 이와 같은 섬락전압은 22 (KV) 정격전압을 60(%)까지 상회한 것으로 인공오손 실험 상태에서도 그 절연내력이 상당함을 알 수 있었다.

〈그림 1〉 RIV 시험회로



〈표 1〉

RIV 시험 결과표

시료		시험전압(KV)	측정주파수(MHz)	규제치( $\mu$ V)	결과( $\mu$ V)
기존사용품	#1	22	1	100이하	39.8
전선보호관 체부품	#1				1이하
	#2				1이하

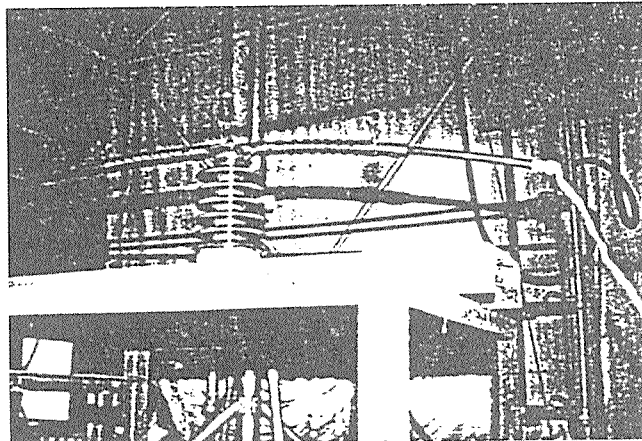
〈표 2〉

인공오순 시험 데이터

(시험조건 온도 : 220c, 습도 51 %, 1012 mbar)

시 료	섬력전압(KV)	염도(Kg/cm <sup>3</sup> )	밀도(Kg/cm <sup>3</sup> )
전선보호관	35.0 이상	160	1104.5
	33.9		
	31.7		
	35.0 이상		
	35.0 이상		

〈그림 2〉 인공 염진애 실험관경



(다) 본 실험 중 참고시험으로 기준 사용되고 있는 바인드 법에서 인공오순 상태의 실험 결과 그 섬력전압이 12 ~ 15 (KV)에서 Flashover됨을 관찰 할 수 있어, 본 전선보호관 시료에 의한 바인딩 법이 그 절연내력에서 2배 이상의 강도를 가지고 있음을 알 수 있었다.

### (3) 전계강도 시험 (Electric Field Strength)

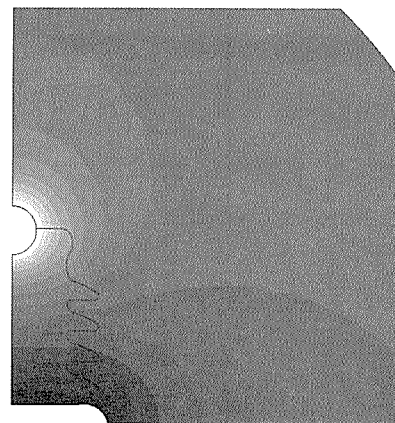
(가) 그림 4,5는 좌표 ( $r=26, z=223$ ) → ( $r=251, z=223$ )에서의 Linepost 애자에 설치된 전선보호관과 나전선의 전계강도를 비교 FD-2D법으로 비교 계산

(나) 전선보호관을 설치했을 때 Linepost 애자부근에서 전계강도가 많이 감소하는 것을 볼 수 있다. 이로 인하여 ACSR만 설치되어 있을 때 보다 corona가 발생하지 않게 되어 누설전류가 급격히 감소하는 것을 알 수 있다.

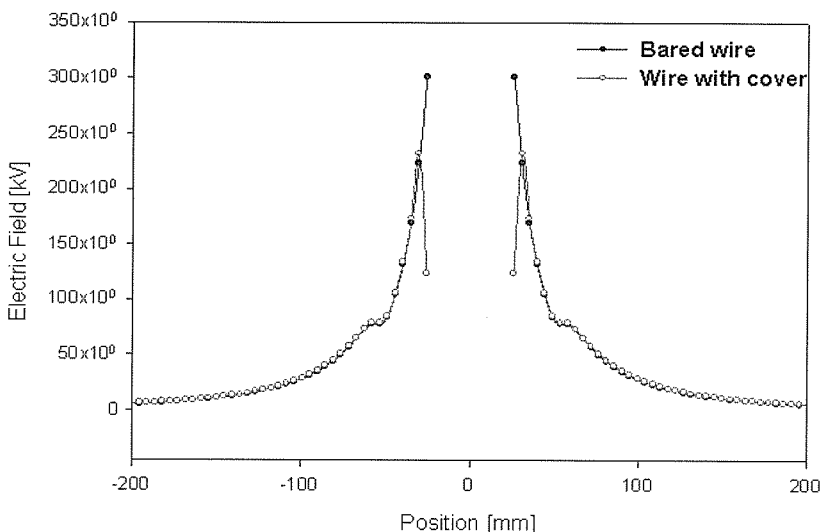
〈그림 3〉 전선보호관을 설치하지 않았을 때의  
등전위 분포



〈그림 4〉 전선보호관을 설치했을 때의  
등전위 분포



〈그림 5〉 Calculation curve of Electric Field Strength



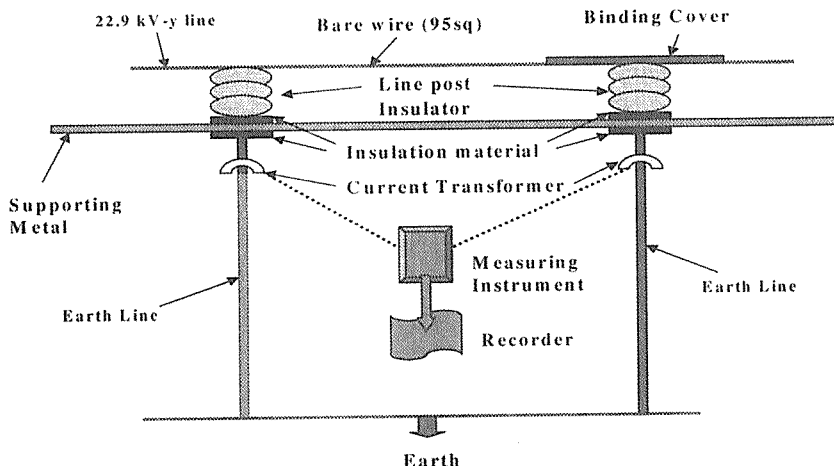
#### (4) 누설전류 측정

(가) 전선보호관을 삽입하여 바인딩 하였을 때와 기존 바인딩법과를 비교한 누설전류 크기를 측정하였다.

(나) 직접접지계통에서 발생되는 유도전류가 오손된 애자의 표면으로 흐르고 있다는 사실은 22.9 (KV-y) 직접접지 계통에서는 애자와 전선 자체의 절연내력을 강화시킴과 동시에 집중임피던스를 접지점을 중심으로 평형 되게 배치할 필요성이

〈그림 6〉 접지선 누설전류 측정회로도

### Measuring Circuit for Leakage Current



(다) 그림 6은 측정회로도로 두 애자의 핀 볼트에 서 접선을 공통선으로 묶은 후 그 전단에 일정간격으로 HIOKI(3283)제 접지선 누설전류 측정기를 이용하여 그 전류크기를 Recorder(일본 Yokogawa 제)로 그 변화되는 전류치를 기록하였다.

#### (5) 측정결과 분석

(가) 그림 8은 경부하 (22.9kV-Y Line current 2 Aampere) 및 중부하 부하시 (22.9 Kv-Y Line 2 A)가 인가되었을 때의 누설전류치를 나타낸 것으로 보호관이 있는 나선(95 sq)에서 흐르는 접지전류가 같은 전선에 보호관이 있는 경우의 누설전류치 보다 30~50(%) 정도 적게 나타남을 알 수 있었다.

(나) 선로에서 흐르는 전류가 1(A)정도의 경부하 전류가 흐르는 경우 나선 상태에서의 접지선 전류

가 0.14 ~ 0.15(mA) 변화되었을 때 보호관을 삽입한 나선에는 0.08 ~ 0.09(mA)의 접지선 누설전류가 흘러, 약 45~50(%)정도 감소됨을 알 수 있었다. (이때 주위온도 190C, 습도 41%)

#### 4. 적용분야 및 기대효과

##### 가. 적용 분야

22.9 kV-Y 직접접지 계통 배전선로 중 LP(Line Post)애자와 전선사이의 바인딩(Binding) 부분

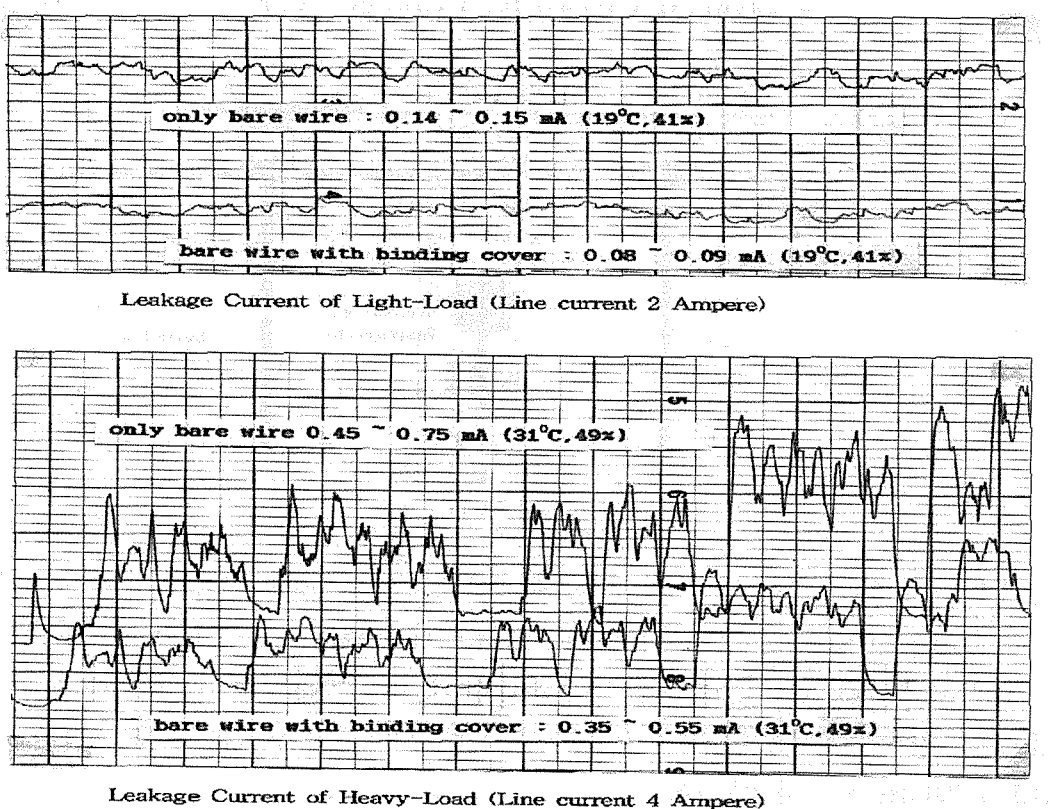
##### 나. 기대효과

본 제품을 22.9 KV-Y 배전선로의 지지애자와 전선 사이에 전선보호관을 삽입시켜 사용하므로써,

(1) 통신선 유도장해전압을 기준 방식보다 40배 가량 줄일 수 있고, (한국전기연구소 실험 데이터임)

(2) 염진애 내전압을 정격전압의 1.5배 이상 견딜 수 있다. (한국전기연구소 실험 데이터임)

〈그림 8〉 접지선 누설전류 측정 그래프



(3) 전선과 애자 사이의 누설전류를 60(%)이상 줄일 수 있음이 실험결과 알 수 있었다. (22.9 KV 수전 공장실험)

#### (4) 전선보호관 취부시 전력량 절감 계산안

##### 배전선로 손실량 통계조사

〈1999년판 통계분석 (한국전력공사 간행)〉

1. 1998년 배전손실량 : 3,417,718 MHW

$$3,417,718 \text{ MHW} \times 60\% (*1) \times 60\% (*2) =$$

$$1,230,378 \text{ MHW}$$

(\*1) 전선보호관을 부착하지 않았을 때의 전류손실율 (실험 결과에 의함)

(\*2) 전선로 중 고압편 애자 점유율 60%로 보았음

\* 1998년도 판매단가 : 72.08원/KWH

$$1,230,378,000 \text{ KWH} \times 72.08\text{원}/\text{KWH} = 88,685,675,000\text{원}$$

총 전력량 손실액: 약 887억여원/년간

전선보호관을 부착하지 않았을 때 지장전력 손실액을 년간 100억원 정도로 보았을 때

1년간 총 절감액 : 약 989 억원

2. \*배전설비 지지물 개수 : 6,031,080 개

직선주 개수를 약 3,000,000개로 보고 1전주당

3개의 LP 애자에

전선보호관 설치비용 :

$$3,000,000\text{개} \times 3\text{개} \times 20,000\text{원}/\text{개당} =$$

180,000,000,000 원

전체 설치비용 : 약 1800 억원

이상의 자료에 의한 손익분기점 년도는 전선 보호관 설치 후 2년 후부터 년간 약 900억원 이상 전력손실량을 줄일 수 있다.

5년간 총 절감액 : 약 4,500 억원

(주) 상기 직선주 개수는 설치된 수량에 따라 변동될 수 있음.

시켰을 때 접지점을 중심으로 평행상태를 유지시키는 전선보호관은, 선로의 반사파와 투파파를 감쇄시킬 수 있는 역할을 할 수 있다.

(2) RIV(Radio Interference Voltage) 실험 결과 기존의 바인딩 방식에서 측정된 RIV치가 39.8 ( $\mu\text{V}$ )인 반면 본 시료인 전선보호관을 사용하였을 때 1( $\mu\text{V}$ )이하로 근 40배 이상의 감쇄효과를 가져올 수 있다.

(3) 본 시료에 대한 전계강도 계산 결과 애자를 중심으로 나선 자체의 전계강도가 300(KV/m)인 반면 전선보호관을 부착시켰을 때 100(KV/m)로 낮아진다는 사실을 알 수 있었다.

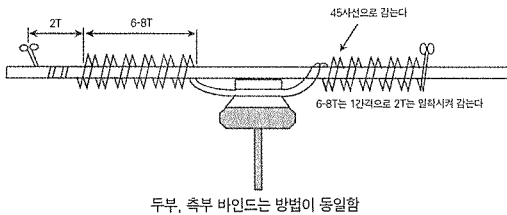
(4) 본 시료에 대한 인공염진애 시험 결과 선로정격전압인 22(KV)보다 60(%) 이상인 35(KV)까지 절연내력을 견딜 수 있으며, 기존 바인딩 방식보다 2배이상 절연내력 효과를 얻을 수 있었다.

(5) 본 시료를 사용하였을 때는 기존 바인딩 보다 LP 애자 1 포인트에서 30 ~ 50(%) 배의 접지선 누설전류를 감소시킬 수 있음을 알 수 있었다.

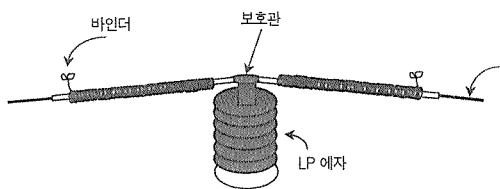
따라서 기존 사용되고 있는 바인딩 방법과 본 전선보호관 부착에 따른 비교실험을 실 배전선로의 실증실험을 통하여 확인할 필요가 있으며, 본 연구에 대한 경제성 평가가 면밀히 이루어지면 전력손실에 대한 막대한 에너지절약을 기대할 수 있을 것으로 사료된다.

#### 다. 기존 방식과 본 방식의 설치도면

##### (1) 기존 바인딩법



##### (2) 본 제품에 의한 바인딩법



### 5. 결 론

본 연구 결과 다음과 같은 몇 가지 결론을 얻을 수 있었다.

##### (1) 선로의 진행파에 대한 집중임피던스를 삽입

〈표 3〉

연구실험 결과표

구 분 실험항목	기존 방법의 경우	보호판을 부착시킨경우
RIV 실험	39.8 ( $\mu\text{V}$ )	1 ( $\mu\text{V}$ )이하
누설전류실험	0.14~0.15(mA) (Line Current: 1A) 0.45~0.75(mA) (Line Current: 2A)	0.08~0.09(mA) (Line Current: 1A) 0.35~0.55mA (Line Current: 2A)
인공오손실험	섬락전압 : 12~15(KV)	섬락전압 : 31~35(KV)
전계강도측정	300 KV/m (애자 중심축)	100 KV/m (애자 중심축)

〈별첨〉

기준 방식과 본 전선보호판 방식의 비교표

방식 구 분	기준방식	새로운방식
작업방식	1. 애자와 전선사이에 바로 바인드선을 감는다.	1. 애자와 전선사이에 보호판을 감은 후 바인드선을 감는다.
전력손실측면	2. 절연전선 자체의 노화로 인하여 애자와 전선 사이에 개당 50(%) 이상의 전력손실을 일으킨다.	2. 절연전선 자체가 노화되지 않으므로 애자와 전선 사이에 개당 50(%) 이상의 전력손실을 감소시킬 수 있다.
통신장애측면	3. RIV치가 높아 통신장애에 영향을 받는다. (RIV : 39.8 $\mu\text{V}$ 이하)	3. RIV치가 낮아 통신장애에 영향을 받지 않는다. (RIV : 1 $\mu\text{V}$ 이하)
선로사고 측면	4. 조류나 황사현상, 공기 중의 불순물 입자가 전선과 애자 표면에 부착되어 선로사고를 일으킨다. (내염진내압치: 15KV 이하)	4. 조류나 황사현상, 공기 중의 불순물 입자가 전선과 보호판에만 주로 부착되어 선로사고를 일으키지 않는다. (내염진내압치: 30KV 이하)
전선원가측면	5. 나전선 대신에 절연전선을 사용하면, 전선원가가 40(%) 이상 상승된다.	5. 절연전선 대신에 나전선을 사용할 수 있으며, 이로 인해 전선원가를 40(%) 이상 절감시킬 수 있다.
전력수송측면	6. 나전선 대신에 절연전선을 사용하면 전력 수송능력이 50(%) 이상 감소된다.	6. 절연전선 대신에 나전선을 사용할 수 있으며, 이로 인해 전력수송 능력을 50(%) 이상 증가시킬 수 있다.
(결론) 기대효과	-	<ul style="list-style-type: none"> <li>· 애자사이에 흐르는 누설전류를 50 (%) 이상 감소</li> <li>· 나전선 사용시 <ul style="list-style-type: none"> <li>- 전선원가 : 40(%) 절감</li> <li>- 전력수송능력 : 50(%) 증가</li> </ul> </li> </ul>